

**Universidade de São Paulo  
Instituto de Física**

# **FÍSICA MODERNA I**

---

## **AULA 23**

**Profa. Márcia de Almeida Rizzutto  
Pelletron – sala 220  
rizzutto@if.usp.br**

**1o. Semestre de 2015**

**Monitor: Gabriel M. de Souza Santos**

Página do curso:

<http://disciplinas.stoa.usp.br/course/view.php?id=5215>

**12/06/2015**

Forças centrais  $\longrightarrow$  Interação Coulombiana entre um elétron e o núcleo de um átomo

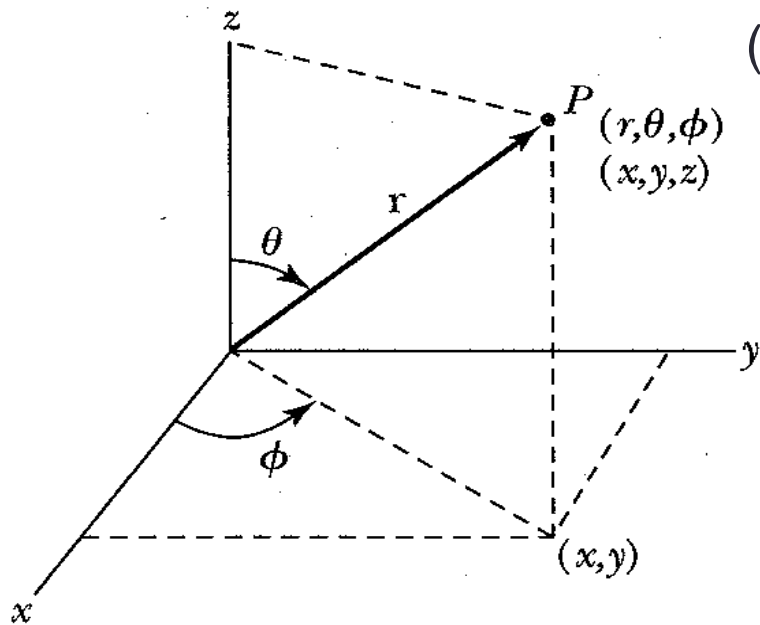
## Átomo de hidrogênio

Agora é função das coordenadas  $r$ ,  $\theta$  e  $\phi$

Coordenadas esféricas:  $\psi \equiv \psi(r, \theta, \phi)$  e

$$\nabla^2 = \frac{1}{r^2} \frac{\partial}{\partial r} \left( r^2 \frac{\partial}{\partial r} \right) + \frac{1}{r^2 \sin \theta} \frac{\partial}{\partial \theta} \left( \sin \theta \frac{\partial}{\partial \theta} \right) + \frac{1}{r^2 \sin^2 \theta} \frac{\partial^2}{\partial \phi^2}$$

Relações entre coordenadas esféricas  $(r, \theta, \phi)$  e cartesianas  $(x, y, z)$



$$x = r \sin \theta \cos \phi$$

$$y = r \sin \theta \sin \phi$$

$$z = r \cos \theta$$

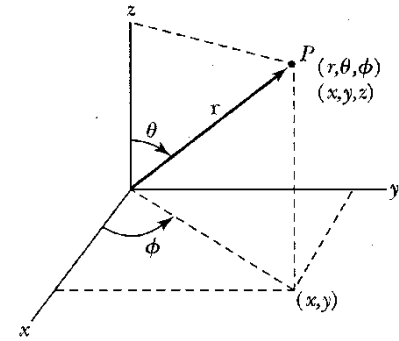
$$r = \sqrt{x^2 + y^2 + z^2}$$

$$\theta = \cos^{-1} \frac{z}{r} \quad (\text{Ângulo polar})$$

$$\phi = \tan^{-1} \frac{y}{x} \quad (\text{Ângulo azimutal})$$

# A eq. de Schrödinger em coordenadas esféricas

$$\nabla^2 = \frac{1}{r^2} \frac{\partial}{\partial r} \left( r^2 \frac{\partial}{\partial r} \right) + \frac{1}{r^2 \sin \theta} \frac{\partial}{\partial \theta} \left( \sin \theta \frac{\partial}{\partial \theta} \right) + \frac{1}{r^2 \sin^2 \theta} \frac{\partial^2}{\partial \phi^2}$$



Lembre-se que a dependência temporal é parametrizada por um autovalor da energia,  $E$ .

$$i\hbar \frac{\partial}{\partial t} \Psi = E\Psi$$

Podemos, então, escrever a eq. de Schrödinger como:

$$-\frac{\hbar^2}{2\mu} \nabla^2 \psi + V(\vec{r})\psi = E\psi$$

$$-\frac{\hbar^2}{2\mu} \left( \frac{1}{r^2} \frac{\partial}{\partial r} \left( r^2 \frac{\partial \psi}{\partial r} \right) + \frac{1}{r^2 \sin \theta} \frac{\partial}{\partial \theta} \left( \sin \theta \frac{\partial \psi}{\partial \theta} \right) + \frac{1}{r^2 \sin^2 \theta} \frac{\partial^2 \psi}{\partial \phi^2} \right) + V\psi = E\psi$$

Separação de variáveis

$$\psi(r, \theta, \phi) = R(r)Y(\theta, \phi)$$

Separação de variáveis  $\psi(r, \theta, \phi) = R(r)Y(\theta, \phi)$

Ao aplicarmos a equação de Schrödinger temos:

$$\frac{1}{R(r)} \left[ \frac{d}{dr} \left( r^2 \frac{dR(r)}{dr} \right) \right] + \frac{2\mu r^2}{\hbar^2} (E - V(r)) = - \left( \frac{1}{\sin\theta} \frac{\partial}{\partial\theta} \left( \sin\theta \frac{\partial Y(\theta, \phi)}{\partial\theta} \right) + \frac{1}{\sin^2\theta} \frac{\partial^2 Y(\theta, \phi)}{\partial\phi^2} \right) \frac{1}{Y(\theta, \phi)}$$

Essa igualdade entre funções de variáveis diferentes só pode valer se ambas forem iguais a uma mesma constante, que escolheremos como  $\lambda$ .

Então:

$$\frac{1}{R} \left[ \frac{d}{dr} \left( r^2 \frac{dR(r)}{dr} \right) + \frac{2\mu r^2}{\hbar^2} (E - V(r)) R \right] = \lambda \quad \text{Este termo só depende de } r,$$

$$- \frac{1}{Y(\theta, \phi)} \left( \frac{1}{\sin\theta} \frac{\partial}{\partial\theta} \left( \sin\theta \frac{\partial Y(\theta, \phi)}{\partial\theta} \right) + \frac{1}{\sin^2\theta} \frac{\partial^2 Y(\theta, \phi)}{\partial\phi^2} \right) = \lambda \quad \text{Este termo só depende de } \theta \text{ e } \phi$$

A nossa hipótese inicial será válida se conseguirmos encontrar soluções para as equações acima, que são ligadas pela constante  $\lambda$ .

Vamos tratar inicialmente da parte angular. Lembrando :

$$-\frac{1}{Y(\theta, \phi)} \left( \frac{1}{\cancel{\text{sen}\theta}} \frac{\partial}{\partial \theta} \left( \text{sen}\theta \frac{\partial Y(\theta, \phi)}{\partial \theta} \right) + \frac{1}{\cancel{\text{sen}^2\theta}} \frac{\partial^2 Y(\theta, \phi)}{\partial \phi^2} \right) = \lambda$$

Podemos multiplicar por  $\text{sen}^2\theta$  e rearranjar:

$$-\left( \text{sen}\theta \frac{\partial}{\partial \theta} \left( \text{sen}\theta \frac{\partial Y(\theta, \phi)}{\partial \theta} \right) + \frac{\partial^2 Y(\theta, \phi)}{\partial \phi^2} \right) = \lambda Y(\theta, \phi) \text{sen}^2\theta$$

$$\cancel{Y(\theta, \phi) \text{sen}^2\theta}$$

$$-\frac{\partial^2 Y}{\partial \phi^2} = \sin \theta \frac{\partial}{\partial \theta} \sin \theta \frac{\partial Y}{\partial \theta} + \lambda \sin^2\theta Y$$

Separação de variáveis

$$Y(\theta, \phi) = \Theta(\theta)\Phi(\phi)$$

$$-\frac{1}{\Phi} \frac{d^2\Phi}{d\phi^2} = \frac{1}{\Theta} \left( \sin\theta \frac{d}{d\theta} \sin\theta \frac{d\Theta}{d\theta} + \lambda \sin^2\theta \Theta \right)$$

Posso escrever que:  $\frac{1}{\Phi} \frac{d^2\Phi}{d\phi^2} = -m^2$  Assim,  $\frac{d^2\Phi}{d\phi^2} + m^2\Phi = 0$

A eq. em  $\phi$  é bem conhecida e tem soluções oscilatórias da forma:

$$\Phi(\phi) = e^{im\phi} \quad , \text{ com } m \text{ positivo ou negativo}$$

Aí aparece uma diferença fundamental com a partícula na caixa 3D: a variável  $\phi$  é cíclica e se repete após o intervalo  $[0, 2\pi]$ .

As autofunções devem ser *unívocas*. Então, para garantir a unicidade da função de onda, temos que impor uma condição de periodicidade à autofunção:

$$\psi(2\pi) = \psi(0) \text{ o que implica em:}$$

$$e^{im(2\pi)} = e^{im0} \Rightarrow \cos 2\pi m \pm i \sin 2\pi m = 1$$

Portanto os valores de  $m$  ficam restritos, uma vez que  $m$  tem que ser inteiro.

$$|m| = 0, 1, 2, 3, \dots \quad , \text{ } m \text{ só pode ser inteiro, positivo ou negativo}$$

Temos um novo *número quântico*  $m$

Parte que depende de  $r$   $\frac{1}{R} \left[ \frac{d}{dr} \left( r^2 \frac{dR(r)}{dr} \right) + \frac{2\mu r^2}{\hbar^2} (E - V(r))R \right] = \lambda$  (1)

Parte que depende de  $\theta$   $-\frac{1}{\Theta(\theta)} \left( \frac{1}{\sin\theta} \frac{d}{d\theta} \sin\theta \frac{d\Theta(\theta)}{d\theta} \right) + \frac{m^2}{\sin^2\theta} \Theta(\theta) = \lambda$  (2)

Novamente a equação (1) depende de  $r$  e a equação (2) depende de  $\theta$ , logo podemos escrever uma constante de igualdade entre as duas equações como:

$$\frac{1}{r^2} \frac{d}{dr} \left( r^2 \frac{dR(r)}{dr} \right) + \frac{2\mu}{\hbar^2} (E - V(r))R = \frac{\lambda R}{r^2}$$

$$-\left( \frac{1}{\sin\theta} \frac{d}{d\theta} \sin\theta \frac{d\Theta(\theta)}{d\theta} \right) + \frac{m^2}{\sin^2\theta} \Theta(\theta) = \lambda \Theta(\theta)$$

$$\frac{1}{\Theta} \operatorname{sen} \theta \frac{d}{d\theta} \left( \operatorname{sen} \theta \frac{d\Theta}{d\theta} \right) + -m^2 + \lambda \operatorname{sen}^2 \theta = 0$$

$$x \frac{\Theta}{\operatorname{sen}^2 \theta}$$

$$\frac{1}{\sin \theta} \frac{d}{d\theta} \sin \theta \frac{d\Theta}{d\theta} + \left( \lambda - \frac{m^2}{\sin^2 \theta} \right) \Theta = 0$$

### Soluções: Funções de Legendre

As soluções aceitáveis para  $\theta$  são funções de Legendre variam com  $\ell$  e  $m$

$$\Theta_{\ell m}(\theta)$$

As únicas soluções finitas e unívocas de  $\Theta(\theta)$  são aquelas para as quais a constante de separação  $\lambda$  é tal que:

$$\lambda_{\ell} = \ell(\ell + 1), \quad \ell = 0, 1, 2, \dots$$

$$\ell = 0, 1, 2, 3, \dots$$

$$m_{\ell} = -\ell, -\ell + 1, \dots, -2, -1, 0, 1, 2, \dots, \ell - 1, \ell$$

$$Y(\theta, \phi) = \Theta_{\ell m}(\theta) \Phi_m(\phi)$$

São chamados de harmônicos esféricos

$$\ell = 0$$

$$m = 0$$

$$Y_{00} = \sqrt{\frac{1}{4\pi}}$$

$$\ell = 1$$

$$m = 1$$

$$Y_{11} = -\sqrt{\frac{3}{8\pi}} \sin \theta e^{i\phi}$$

$$m = 0$$

$$Y_{10} = \sqrt{\frac{3}{4\pi}} \cos \theta$$

$$m = -1$$

$$Y_{1-1} = \sqrt{\frac{3}{8\pi}} \sin \theta e^{-i\phi}$$

$$\ell = 2$$

$$m = 2$$

$$Y_{22} = \sqrt{\frac{15}{32\pi}} \sin^2 \theta e^{2i\phi}$$

$$m = 1$$

$$Y_{21} = -\sqrt{\frac{15}{8\pi}} \sin \theta \cos \theta e^{i\phi}$$

$$m = 0$$

$$Y_{20} = \sqrt{\frac{5}{16\pi}} (3 \cos^2 \theta - 1)$$

$$m = -1$$

$$Y_{2-1} = \sqrt{\frac{15}{8\pi}} \sin \theta \cos \theta e^{-i\phi}$$

$$m = -2$$

$$Y_{2-2} = \sqrt{\frac{15}{32\pi}} \sin^2 \theta e^{-2i\phi}$$

São normalizados de acordo com a relação:

$$1 = \int_{\text{all } \Omega} |Y_{\ell m}(\theta, \phi)|^2 d\Omega$$

com  $d\Omega = \sin \theta d\theta d\phi$

$$Y(\theta, \phi) = \Theta_{lm}(\theta) \Phi_m(\phi)$$

São chamados de harmônicos esféricos

momento angular orbital, associada a  $R(r)$ ,  $\Theta(\theta)$  e ao módulo de  $L$   
 número quântico magnético, associado a componente  $z$  do momento angular

1. os autovalores de  $L^2$  são iguais a  $\hbar^2 l(l+1)$ , sendo  $l$  um inteiro não negativo

$$L_{op}^2 \psi(r, \theta, \phi) = \hbar^2 l(l+1) \psi(r, \theta, \phi)$$

2. os autovalores de  $L_z$  são iguais a  $\hbar m$ , sendo  $m$  um inteiro tal que  $-\ell \leq m \leq \ell$

$$L_z \psi(r, \theta, \phi) = m \hbar \psi(r, \theta, \phi)$$

Isso mostra que os valores possíveis de  $L^2$  e de  $L_z$  são discretos (**quantizados**), evidenciando a quantização do momento angular e da componente  $z$  do momento angular.

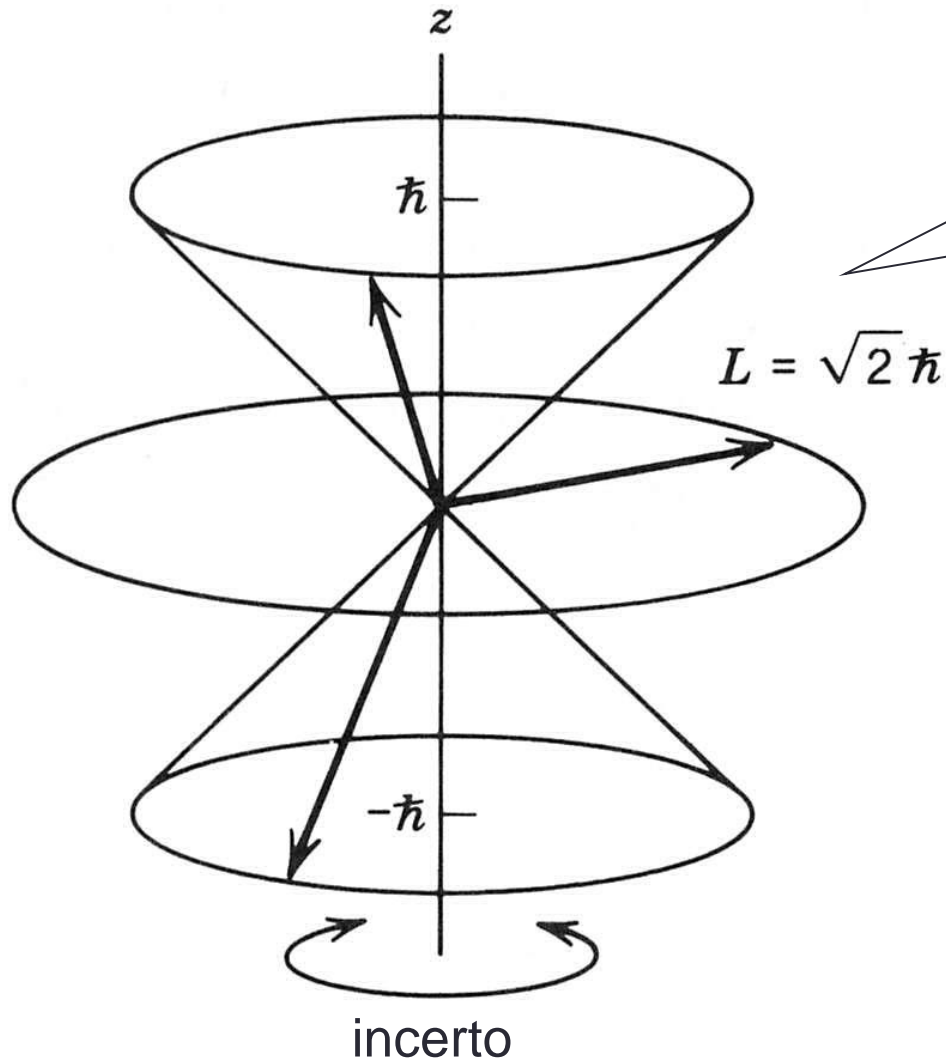
$$|\mathbf{L}| = \hbar \sqrt{l(l+1)}$$

$$l = 0, 1, 2, 3, \dots$$

$$m_l = -l, -l+1, \dots, 0, 1, \dots, l-1, l$$

$$L_z = m_l \hbar \quad m = 0, \pm 1, \pm 2, \pm 3, \dots$$

Apenas uma das observáveis  $L_x$ ,  $L_y$  ou  $L_z$  pode ser determinada com incerteza nula e a escolhida foi  $L_z$ . A figura abaixo mostra os valores do momento angular para o caso  $\ell = 1$ .



Modelo vetorial do átomo ilustrando as orientações possíveis de  $\mathbf{L}$  no espaço e os valores possíveis de  $L_z$

O vetor momento angular nunca aponta no sentido do eixo  $z$  (a maior componente possível neste eixo é  $m$ , que é sempre menor que o módulo do vetor) .

Isto se deve ao princípio de indeterminação do momento angular, o que diz que é impossível determinar com precisão absoluta duas componentes do momento angular ( $L_x$  e  $L_y$ )

**Não confundir com precessão!**

## Quantização da energia

Até agora só tratamos da parte angular, que dependia apenas da simetria do problema, ou seja, do fato da força ser central. A dinâmica depende da forma de  $V(r)$ , e se manifesta na solução da parte radial:

$$\frac{1}{R} \frac{d}{dr} \left( r^2 \frac{dR(r)}{dr} \right) + \frac{2\mu \cdot r^2}{\hbar^2} (E - V(r)) = \lambda$$

$$\lambda_\ell = \ell(\ell + 1), \quad \ell = 0, 1, 2, \dots$$

$$-\frac{\hbar^2}{2\mu r^2} \frac{d}{dr} r^2 \frac{dR}{dr} + \left[ V(r) + \frac{\hbar^2}{2\mu r^2} \ell(\ell + 1) \right] R = ER.$$

que pode ser escrita de forma equivalente como:

$$-\frac{\hbar^2}{2\mu} \frac{d^2}{dr^2} (rR) + \left[ V(r) + \frac{\hbar^2}{2\mu r^2} \ell(\ell + 1) \right] (rR) = E(rR).$$

que é análoga à eq. de Schrödinger em 1D.

potencial efetivo:

$$V_{\text{eff}}(r) = V(r) + \frac{\hbar^2}{2\mu r^2} \ell(\ell + 1)$$

Portanto as soluções  $rR(r)$  para um potencial  $V_{\text{eff}}(r)$  devem apresentar as mesmas propriedades que as  $\psi(x)$  para um potencial  $V(x)$ .

**Cuidados necessários:**  $x$  varia em  $[-\infty, \infty]$  em 1D,  
enquanto  $r$  varia em  $[0, \infty]$  em 3D.

Como no caso em  $x$ , a eq. de Schrödinger deve apresentar uma família de soluções apropriadas, correspondendo a um conjunto de energias permitidas. Uma solução com energia  $E$  será aceitável se houver uma função  $R(r)$  que seja contínua, unívoca e finita no intervalo  $[0, \infty]$ .

A dependência explícita de  $V_{\text{eff}}$  com  $\ell$  é importante, pois mostra que a forma da eq. diferencial muda com a escolha de  $\ell$ .

$$V_{\text{eff}}(r) = V(r) + \frac{\hbar^2}{2\mu r^2} \ell(\ell + 1)$$

Isso mostra que cada  $\ell$  deve ter uma seqüência de soluções para  $E$  e  $R(r)$  e que elas devem depender de um **par** de índices, correspondentes a dois números quânticos:  $R_{n\ell}(r)$  e  $E_{n\ell}$

Então podemos reescrever a eq. da parte radial como uma eq. de autovalores:

$$\left\{ -\frac{\hbar^2}{2\mu r^2} \frac{d}{dr} r^2 \frac{d}{dr} + V(r) + \frac{\hbar^2}{2\mu r^2} \ell(\ell + 1) \right\} R_{n\ell} = E_{n\ell} R_{n\ell}$$

Assim, as soluções estacionárias devem apresentar a seguinte estrutura:

$$\Psi_{n\ell m}(r, \theta, \phi, t) = R_{n\ell}(r) Y_{\ell m}(\theta, \phi) e^{-iE_{n\ell}t/\hbar}$$

$R_{n\ell}(r)$  funções radiais e  $E_{n\ell}$  autovalores de energia

E podemos notar que o nosso problema 3D requer, como esperado, o aparecimento de 3 números quânticos. Como vimos  $\ell$  e  $m$  estão associados à parte angular da função de onda:

$$-\hbar^2 \Lambda^2 \Psi_{n\ell m} = \hbar^2 \ell(\ell + 1) \Psi_{n\ell m}$$

$$\frac{\hbar}{i} \frac{\partial}{\partial \phi} \Psi_{n\ell m} = \hbar m \Psi_{n\ell m}$$

E  $\Psi$  deve ter paridade bem definida, pois deve obedecer:

$$\Psi_{n\ell m} \rightarrow (-1)^\ell \Psi_{n\ell m} \text{ na transformação } (x, y, z) \rightarrow (-x, -y, -z). \text{ E, finalmente:}$$

$$i\hbar \frac{\partial}{\partial t} \Psi_{n\ell m} = E_{n\ell} \Psi_{n\ell m}$$

e podemos assumir que  $n$  indica os níveis de energia para um dado  $\ell$ , de tal forma que as energias cresçam com  $n$ , como no caso 1D. Sabemos que a energia de um estado aumenta com o número de nós da função. Isso deve também ser verdade para  $rR(r)$ , pois satisfazem eqs. análogas. Assim,  $n$  deve ser um número quântico dos nós radiais, indicando o número de nós na função  $rR(r)$ .

Então podemos tirar uma primeira conclusão a respeito do problema de forças centrais:

devem existir funções de onda que sejam autofunções **simultâneas** da energia, do quadrado do momento angular e de sua componente  $z$ .

Isso significa que podemos determinar essas 3 quantidades ao mesmo tempo.

Devemos também notar que o número quântico  $m$  não aparece como índice da energia quantizada. Isso é assim porque ele não aparece na equação diferencial e portanto as soluções correspondentes não podem depender dele. Isso indica a existência de uma degenerescência, uma vez que  $E_{n\ell}$  não depende de  $m$ . Para cada valor de  $E_{n\ell}$  existem  $2\ell + 1$  funções de onda diferentes, uma para cada possível valor de  $m$ .

Essa degenerescência é mais uma consequência da simetria rotacional da força central. A força não provê uma direção natural para a escolha do eixo  $z$ , e, portanto, observáveis como a energia não podem depender de  $m$ , o número quântico associado a essa escolha.

O problema 3D requer, como esperado, o aparecimento de 3 números quânticos. Como vimos,  $\ell$  e  $m$  estão associados à parte angular da função de onda e para cada valor de  $E_{n\ell}$  existem  $2\ell + 1$  funções de onda diferentes, uma para cada possível valor de  $m$ . Dessa forma, a degenerescência do nível  $n$ , será:

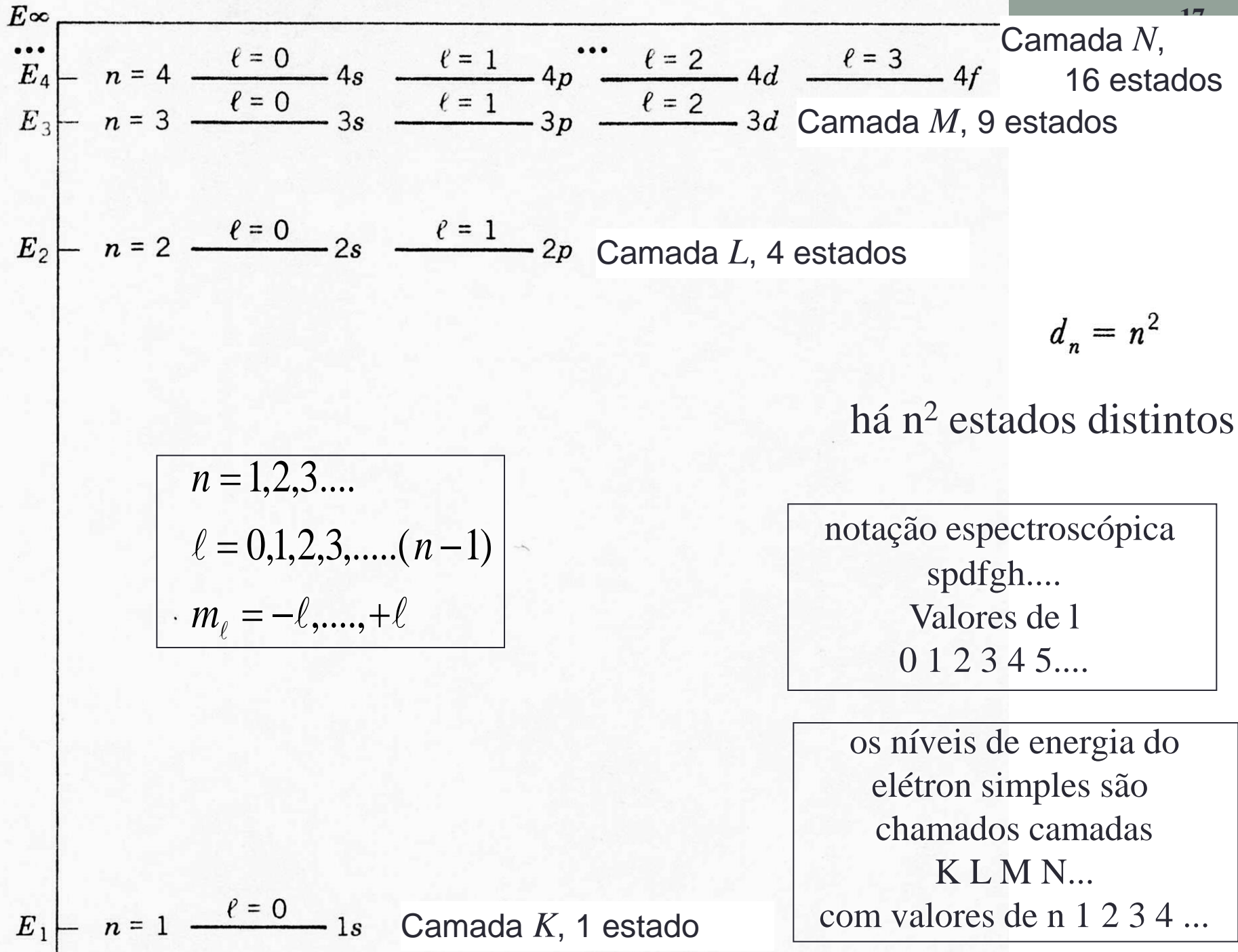
$$d_n = n^2$$

degenerescência

$$\psi_{nlm}(r, \theta, \phi, t) = R_{nl}(r)Y_{lm}(\theta, \phi)e^{-E_{nl}t/\hbar}$$

$$n = 1, l = 0, m = 0 \quad \psi_{100} = R_{10}Y_{00}e^{-E_1t/\hbar} \quad \text{estado não degenerado}$$

$$\left. \begin{array}{l} n = 2, l = 0, m = 0 \\ l = 1; m = 1, 0, -1 \end{array} \right\} \begin{array}{l} \psi_{200} = R_{20}Y_{00}e^{-E_2t/\hbar} \\ \psi_{21m} = R_{21}Y_{1m}e^{-E_2t/\hbar} \end{array} \quad \text{4 estados degenerados}$$



# Soluções para a equação radial

$$-\frac{\hbar^2}{2\mu r} \frac{d^2}{dr^2} rR - \frac{Ze^2}{4\pi\epsilon_0 r} R + \frac{\hbar^2}{2\mu r^2} \ell(\ell+1)R = ER.$$

Vamos fazer mudanças de variáveis, introduzindo:

o raio de Bohr ( $a$ )

e a energia de Rydberg:

$$r = a\rho = \frac{4\pi\epsilon_0\hbar^2}{Ze^2\mu} \rho$$

$$dr = a d\rho$$

$$\frac{Ze^2}{4\pi\epsilon_0} = \frac{\hbar^2}{\mu a}$$

$$E = -\frac{\mu}{m_e} Z^2 E_0 \eta = -\frac{\hbar^2}{2\mu a^2} \eta.$$

Ficando:

$$-\frac{\hbar^2}{2\mu a^3 \rho} \frac{d^2}{d\rho^2} a\rho R - \frac{\hbar^2}{\mu a^2 \rho} R + \frac{\hbar^2}{2\mu a^2 \rho^2} \ell(\ell+1)R = -\frac{\hbar^2}{2\mu a^2} \eta R.$$

Que leva a:

$$\frac{d^2}{d\rho^2} \rho R + 2R - \frac{\ell(\ell+1)}{\rho} R = \eta \rho R.$$

A solução deve tender a 0 no infinito e deve apresentar zeros. Então:

$R = e^{-\sqrt{\eta}\rho} \frac{F(\rho)}{\rho}$  sendo que o polinômio  $F$  deve obedecer à seguinte equação:

$$F'' - 2\sqrt{\eta} F' + \left[ \frac{2}{\rho} - \frac{\ell(\ell+1)}{\rho^2} \right] F = 0 \quad \text{com} \quad \sqrt{\eta} = \frac{1}{n} \quad \text{sendo } n \text{ a ordem do polinômio.}$$

Assim, as funções são definidas por:

$$R_{n\ell} = e^{-\rho/n} \frac{F_{n\ell}(\rho)}{\rho} \quad \text{com } \rho = \frac{r}{a}.$$

São as funções denominadas polinômios de Laguerre

Alguns exemplos de funções **radiais** normalizadas:

$n = 1$	$\ell = 0$	$R_{10} = \frac{2}{\sqrt{a^3}} e^{-\rho}$
$n = 2$	$\ell = 0$	$R_{20} = \frac{1}{\sqrt{2a^3}} \left( 1 - \frac{\rho}{2} \right) e^{-\rho/2}$
	$\ell = 1$	$R_{21} = \frac{1}{2\sqrt{6a^3}} \rho e^{-\rho/2}$
$n = 3$	$\ell = 0$	$R_{30} = \frac{2}{3\sqrt{3a^3}} \left( 1 - \frac{2}{3}\rho + \frac{2}{27}\rho^2 \right) e^{-\rho/3}$
	$\ell = 1$	$R_{31} = \frac{8}{27\sqrt{6a^3}} \rho \left( 1 - \frac{\rho}{6} \right) e^{-\rho/3}$
	$\ell = 2$	$R_{32} = \frac{4}{81\sqrt{30a^3}} \rho^2 e^{-\rho/3}$